

高等学校教学用書

# 結構力学

楊耀乾著

高等教育出版社

21  
0433

教育出版社

高等学校教学用書



結 構 力 学

楊 耀 乾 著

高等教 育 出 版 社

本書包括三部分：靜定結構；超靜定結構；結構穩定與結構動力學。其中第一二兩部分系參照我國“鐵路與公路橋梁隧道”專業和“鐵道建築”專業的結構力學統一教學大綱編寫，第三部分系參照蘇聯“鐵道橋隧”專業1955年的結構力學大綱編寫。

本書經中華人民共和國教育部審查同意作為土建高等學校試用教材。



## 結 構 力 學

楊耀乾著

高等教育出版社出版 北京宣武門內承恩寺7號

(北京市書刊出版業營業許可證出字第054號)

京華印書局印刷 新華書店發行

---

統一書號15010·688 開本787×1092 1/16 印張285/8 檢頁1 字數671,000 印數0001—3,500  
1958年9月第1版 1958年9月北京第1次印刷 定價(10)元 4.1

## 前 言

自从 1952 年开始教学改革以来，在結構力学的教学工作中，我們一直是以普洛柯費耶夫与史密尔諾夫著的結構理論三卷为教科書，并以达尔柯夫与庫茲聶錯夫著的結構靜力学为主要参考書来进行教学的。几年来的經驗告訴我們，由于这些苏联的教科書与中国的學生实际之間存在着一定的距离，并且由于譯文的文理不易为中国学生所接受的緣故，使我們在教学工作中遭到一些困难。因此在教改工作进行了四年之后的今天，有必要编写一本專为中国学生閱讀的結構力学教科書。这就是编写本書的目的。

本書包括三部分：結構力学 I—靜定結構；結構力学 II—超靜定結構；結構力学 III—結構穩定与結構动力学。其中第一二兩部分是参照我国铁路与公路桥梁隧道專業以及鐵道建筑專業的結構力学統一教學大綱編写的；第三部分是参照苏联鐵道桥隧專業 1955 年的結構力学大綱編写的。就本書的內容來說，比这些大綱的要求稍微多了一些，并且鑑于力矩分配法在现场的广泛应用，因此也以一节的分量作了簡要的介紹。在使用本書时，編者認為完全沒有必要把本書的全部內容統統給学生講解，并且在一节之内，也只能是有重点地給学生詳細講解。正是为了这个目的，所以本書在叙述上力求詳細，以便学生在教師的啓發之下能够自己独立鑽研。

目前由于教學計劃尙时有改变，从而教學大綱，特別是实施性教學大綱，也必須作相应的修改。因此，編者建議，使用本書的教師們請按大綱的要求与学生的水平来决定講授內容的去取。書中以小字排印的部分應考慮首先加以抛弃，即使是大字排印的部分也可以考慮作适当的精簡。对学生的要求來說，当然，其中靜定結構与超靜定結構部分是最基本的，因此这些部分的內容应当少精簡些，其余部分可以多精簡些。本書的第三部分，結構穩定与結構动力学，也可以作为选修課程的教科書之用。

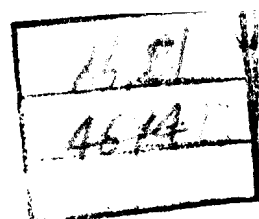
本書主要取材于普氏与史氏的結構理論，其次是达氏与柯氏的結構靜力学。主要参考書籍附于書末。

本書于最后脱稿之前，承金宝楨、王龙甫、李廉鋗三位教授詳加审閱，并提出了許多有益的意見，編者曾据此加以修改。謹致謝忱。

本書第十九章系由陈英俊副教授执笔，靜定与超靜定結構部分的習題与答案系由徐文煥、項忠权、陈大鵬、唐昌荣、王業敏五位同志所編制，以上均經編者加以校閱；全書并由唐山鐵道学院結構力学教研組的全体教師分担了校对工作，特此致謝。

本書曾在唐院試用过一次，并根据初次实践的經驗作了一定的修改。限于編者的水平，書內难免有不适当以及錯漏的地方，希望使用本書的教師与讀者指正。

編者 1957 年 12 月



# 目 录

前言	vi
<b>第一章 緒論及基本概念</b>	1
§ 1.1 結構力学及其任务	1
§ 1.2 結構力学的發展簡史	2
§ 1.3 結構的分类	3
§ 1.4 荷載的型式	4
§ 1.5 計算方法	5
<b>第二章 土压力与擋土牆</b>	6
§ 2.1 一般概念	6
§ 2.2 極限平衡理論的基本假定	8
§ 2.3 主动土压力及其破裂角	8
§ 2.4 用圖解法求土压力	10
§ 2.5 土压力分布及其作用点	12
§ 2.6 活荷載的影响	13
§ 2.7 牆面为曲折綫時的圖解法(圖2.15)	13
§ 2.8 用解析法求土压力	14
§ 2.9 牆后填土浸水对土压力的影响	16
§ 2.10 被动土压力	17
§ 2.11 朗金理論	18
§ 2.12 粘合力的影响	20
§ 2.13 擋土牆稳定的計算	21
§ 2.14 擋土牆强度的計算	22
*§ 2.15 板樁牆的計算	24
習題	25
<b>第三章 平面結構的靜力分析及机动分析</b>	28
§ 3.1 平面結構的支坐	28
*§ 3.2 支坐的靜力分析	29
§ 3.3 支坐的机动分析	30
§ 3.4 平面結構的自由度及可变度	32
§ 3.5 平面桁架的自由度及可变度	34
§ 3.6 稳定結構的形成	34
*§ 3.7 以机动法檢查結構的稳定性	36
習題	38
<b>第四章 影响綫的一般理論及其应用</b>	40
§ 4.1 影响綫概念	40
§ 4.2 以靜力法作直接荷載下的單跨梁影响綫	41
响綫	41
§ 4.3 以靜力法作間接荷載下的影响綫	44
§ 4.4 以机动法作影响綫的概念	46
§ 4.5 以机动法作直梁的影响綫	47
§ 4.6 利用影响綫求应力	49
§ 4.7 最不利的荷載位置	50
*§ 4.8 特殊情形	53
§ 4.9 我国铁路与公路的标准荷載制	54
§ 4.10 利用換算荷載求最大內力	56
§ 4.11 簡支梁的絕對最大力矩	58
習題	61
<b>第五章 多跨靜定梁</b>	65
§ 5.1 多跨靜定梁的形成	65
§ 5.2 多跨靜定梁在靜荷載下的計算	66
*§ 5.3 以圖解法画力矩圖与撓度圖	67
§ 5.4 多跨靜定梁的影响綫	70
習題	71
<b>第六章 靜定梁式平面桁架</b>	74
§ 6.1 一般概念	74
§ 6.2 靜定梁式平面桁架的分类	76
§ 6.3 求桁架內力的解析法	77
§ 6.4 通路法	84
§ 6.5 代替法	87
§ 6.6 再分析架的形成及其作用	91
§ 6.7 再分析架的內力分析	93
§ 6.8 以解析法画桁架內力影响綫	95
§ 6.9 再分析架的影响綫	101
*§ 6.10 桁架外形对杆件內力的影响	105
習題	108
<b>第七章 推力結構</b>	111
§ 7.1 推力結構的分类	111
§ 7.2 三鉸拱的數解法	112
§ 7.3 三鉸拱的圖解法	115
§ 7.4 三鉸拱的合理拱軸	116
§ 7.5 三鉸拱的影响綫	118
§ 7.6 核心力矩	121
§ 7.7 三鉸桁架拱的內力影响綫	122
§ 7.8 混合結構的計算	125
§ 7.9 懸式結構的計算	128
習題	131
<b>第八章 空間桁架</b>	133
§ 8.1 引言	133
§ 8.2 空間力系的平衡	133
§ 8.3 空間結構的支坐及其稳定性	134
§ 8.4 空間桁架的形成及其稳定性	135
§ 8.5 以結点法求內力	138
§ 8.6 以截面法求內力	139

408468

§ 8.7 分解为平面桁架的計算方法 .....	140	§ 13.3 彈性中心 .....	219
*§ 8.8 代替法 .....	141	§ 13.4 冗力組 .....	220
習題 .....	141	§ 13.5 計算的校核 .....	220
<b>第九章 关于結構变位的一般原理 .....</b>	<b>144</b>	§ 13.6 影响綫 .....	221
§ 9.1 通論 .....	144	習題 .....	223
§ 9.2 实功与位能 .....	145	<b>第十四章 連續梁 .....</b>	<b>225</b>
§ 9.3 虛功 .....	150	§ 14.1 三弯矩方程式 .....	225
§ 9.4 互等定理 .....	151	§ 14.2 溫度变化的影响 .....	228
§ 9.5 求变位的基本公式及其应用 .....	152	§ 14.3 基础下沉的影响 .....	229
§ 9.6 以解析法求結構变位示例 .....	153	§ 14.4 力矩、剪力、反力的一般公式 .....	231
*§ 9.7 位能微分法 —— 卡斯奇梁諾定理 .....	157	§ 14.5 定点与定点比 .....	232
§ 9.8 圖解解析法 .....	158	§ 14.6 荷載跨度內的支点力矩 .....	234
§ 9.9 靜定剛架的內力圖作法 .....	160	*§ 14.7 在彈性支坐上的連續梁 .....	236
§ 9.10 圖解解析法示例 .....	162	§ 14.8 影响綫 .....	237
§ 9.11 溫度变位 .....	164	§ 14.9 連續梁影响綫示例 .....	240
*§ 9.12 基础沉陷作用下的变位 .....	166	§ 14.10 在均布活荷載作用下最不利的荷載配 合 .....	244
§ 9.13 变位影响綫 .....	167	§ 14.11 包絡圖 .....	246
§ 9.14 彈性荷載法 .....	168	*§ 14.12 在行列荷載作用下的計算 .....	247
§ 9.15 在实体截面結構中彈性荷載的公式 .....	171	習題 .....	248
§ 9.16 在桁架中彈性荷載的公式 .....	174	<b>第十五章 超靜定实体拱 .....</b>	<b>250</b>
*§ 9.17 桁架变位圖解法基础 .....	175	§ 15.1 緒論 .....	250
*§ 9.18 簡單桁架的变位圖解法 .....	175	§ 15.2 無鉸拱、沿拱軸的截面变化 .....	251
*§ 9.19 复杂桁架的变位圖解法 .....	177	§ 15.3 拱軸的选择 .....	252
習題 .....	178	§ 15.4 基本結構与彈性中心 .....	254
<b>第十章 超靜定結構的一般概念 .....</b>	<b>182</b>	§ 15.5 冗力的計算 .....	255
§ 10.1 超靜定結構的特性及其計算方法 .....	182	§ 15.6 內力与压力曲綫 .....	259
習題 .....	183	§ 15.7 影响綫 .....	262
<b>第十一章 力法 .....</b>	<b>184</b>	*§ 15.8 抛物綫形無鉸拱的解析法 .....	268
§ 11.1 力法的基本原理及其正則方程式 .....	184	§ 15.9 溫度变化与混凝土收缩的影响 .....	269
§ 11.2 力法示例 .....	187	§ 15.10 拱軸縮短的影响 .....	271
§ 11.3 溫度变化的影响 .....	191	§ 15.11 二鉸拱計算的概念 .....	272
§ 11.4 基础下沉的影响 .....	193	習題 .....	276
§ 11.5 內力圖作法及其校核 .....	195	<b>第十六章 形变法 .....</b>	<b>278</b>
§ 11.6 彈性中心 .....	196	§ 16.1 基本概念 .....	278
習題 .....	199	§ 16.2 基本結構与未知数数目 .....	280
<b>第十二章 复杂剛架的計算 .....</b>	<b>203</b>	§ 16.3 正則方程式的組成 .....	281
§ 12.1 基本結構的选择 .....	203	§ 16.4 未知数前的系数 .....	282
§ 12.2 剛悬臂的应用 .....	205	§ 16.5 荷載項的計算 .....	284
§ 12.3 冗力組 .....	207	§ 16.6 形变法示例 .....	287
§ 12.4 正則方程式的校核 .....	209	§ 16.7 最后內力圖的作法及其校核 .....	290
§ 12.5 最后內力圖的校核 .....	210	§ 16.8 多層剛架与对称剛架的計算 .....	291
§ 12.6 复杂剛架計算示例 .....	211	§ 16.9 具有非平行支柱的剛架計算 .....	293
習題 .....	216	§ 16.10 溫度变化的計算 .....	295
<b>第十三章 超靜定桁架的計算 .....</b>	<b>217</b>	§ 16.11 影响綫 .....	296
§ 13.1 超靜定桁架的一般解法 .....	217	*§ 16.12 形变法的簡化 .....	299
§ 13.2 基本結構的选择 .....	217	§ 16.13 混合法 .....	302
		§ 16.14 联合法 .....	304

§ 16.15 漸近計算法 .....	305	I. 一次自由度結構的振動 .....	371
習題.....	313	§ 19.2 自由振動 .....	371
<b>第十七章 按極限荷載計算結構的概念 .....</b>	<b>316</b>	§ 19.3 衰減自由振動 .....	374
§ 17.1 基本概念.....	316	§ 19.4 無衰減時的受迫振動 .....	377
§ 17.2 塑性鉸 .....	317	§ 19.5 衰減受迫振動 .....	378
§ 17.3 超靜定梁在一次荷載下的計算 .....	318	*§ 19.6 在突加荷載下的振動 .....	380
習題.....	320	II. 多次自由度結構的自由振動 .....	381
<b>第十八章 結構穩定 .....</b>	<b>322</b>	§ 19.7 二次自由度結構的自由振動 .....	381
§ 18.1 緒論.....	322	§ 19.8 多次自由度結構的自由振動 .....	383
§ 18.2 求臨界力的方法 .....	324	*§ 19.9 對稱性的利用 .....	387
*§ 18.3 其他求臨界力的方法 .....	329	§ 19.10 考慮自重時等截面梁的自由橫振動 .....	388
§ 18.4 在剛性支承上的等截面直杆的穩定 .....	335	§ 19.11 計算頻率的近似法 .....	394
§ 18.5 在彈性支承上的等截面直杆的穩定 .....	336	§ 19.12 桁架的自由振動 .....	400
§ 18.6 等截面直杆在自重作用下的穩定 .....	338	§ 19.13 計算桁架自振頻率的近似法 .....	402
§ 18.7 變截面壓杆的穩定 .....	340	III. 多次自由度結構的受迫振動 .....	404
§ 18.8 剪力對於臨界力數值的影響 .....	342	§ 19.14 多次自由度結構在振動荷載作用下 的計算 .....	404
§ 18.9 組合壓杆的穩定 .....	344	*§ 19.15 多次自由度結構在振動荷載作用下 的計算示例 .....	406
§ 18.10 圓弧形曲杆的平衡微分方程式 .....	346	§ 19.16 在連續分布質體作用下等截面梁的 受迫振動 .....	411
§ 18.11 在靜水壓力作用下圓拱的穩定 .....	347	§ 19.17 在連續分布質體作用下剛架的受迫 振動 .....	418
*§ 18.12 抛物線拱的穩定 .....	349	習題 .....	422
§ 18.13 剛架的穩定 .....	350		
§ 18.14 連續梁的穩定 .....	356		
§ 18.15 在彈性介質上的杆件的穩定 .....	357		
§ 18.16 半穿式橋梁上弦杆的穩定 .....	359		
§ 18.17 工字梁的穩定 .....	361		
*§ 18.18 薄壁杆件的穩定 .....	364		
習題 .....	366		
<b>第十九章 結構動力學 .....</b>	<b>369</b>		
§ 19.1 緒論 .....	369		
		<b>附錄 I. 按高斯法解正則方程式 .....</b>	<b>426</b>
		<b>附錄 II. <math>\xi_1(u), \xi_2(u), \xi_3(u), \eta_1(u),</math> <math>\eta_2(u), \eta_3(u)</math> 等函數數值 .....</b>	<b>428</b>
		<b>附錄 III. <math>A_{kx}, B_{kx}, C_{kx}, D_{kx}</math> 等函數數值 .....</b>	<b>432</b>
		<b>附錄 IV. 習題答案 .....</b>	<b>435</b>
		<b>主要參考書目錄 .....</b>	<b>451</b>

# 第一章 緒論及基本概念

## § 1.1 結構力学及其任务

一切由人手創造出来的东西，凡用以支承或平衡外来的荷載者，謂之結構。工程上所用的結構常用一根或許多杆件連接而成。这些杆件可以是軸向受拉的拉杆或系杆，軸向受压的压杆、支撑或柱，受到撓曲的梁，受到扭曲的軸，或同时受有几种不同作用的复式杆件。除了受到扭曲的軸以外，其他各种类型的杆件在工程結構中是常遇到的。

工程师在設計一个工程結構时，他必須知道，从安全与經濟的觀点出發，在結構的各部分應該采用什么样的尺寸大小，才能滿足結構的强度与剛度的要求。为此，他不得不需要將实际的結構变成为紙上的計算簡圖，又不得不將实际載重簡化成为設計用荷載，从而可以分析結構各部分的受力情形，以及整个結構的变形。在材料力学中曾經研究了一根簡單杆件的稳定問題。同样地，当一个結構在变形时，也有丧失稳定的可能，这些有关結構稳定的計算，也是工程师所必須知道的。同时，由于生产的發展与扩大，机器的使用更为广泛而且速度亦大为提高，这样就迫使工程师們面对着另一个問題，就是，如何在动力荷載的作用下来分析結構的强度、变形与稳定的問題。

由上所述，可見結構力学的任务，在于研究在靜力与动力作用下，結構的內力、变形与稳定性的分析。此外，結構力学的任务也應該包括結構外形对其內力与变形的影响。

工程师在設計結構时所面临的一个总的問題是，如何在安全的条件下來貫徹節約的原則。1956年9月16日周恩来总理在中国共产党第八次全国代表大会上所作“关于發展国民经济的第二个五年計劃的建議的報告”中，曾經向全国人民呼吁繼續励行節約。他說：“在第二个五年計劃期間，由于国家建設規模的扩大，我們在物資供应、資金来源和技术力量等方面，还会遇到很多困难，而励行節約，合理地使用物力、財力和人力，正是克服这些困难的一項重要办法”。为了貫徹又好又省的目的，工程师們就必须充分运用結構力学中所述的科学分析方法，来尽可能地节省材料和合理的改进設計方法。在我国發展国民经济的第一个五年期間，此种事例是屢見不鮮的。

由于生产力的不断發展，推動着結構力学這門科学的不断扩大与深化。現在，它本身已發展成为結構靜力学、結構动力学与結構稳定等几門独立的学科，而散体压力理論以及按極限荷載的結構計算等部門正在逐漸脫胎而出成为独立的学科。結構力学本身又是建筑力学的一个部門，正如材料力学是建筑力学的一个部門一样。一般地說，材料力学是对于單一杆件的分析，而結構力学是对于一个結構的分析。然而它們的严格分界是沒有的。

## § 1.2 結構力学的發展簡史

祖国古代的文明史充分地显示出祖国劳动人民在結構工程方面的創造能力。在远古的时候，石料是最初被利用为建筑材料的。我們的祖先对于石料的抗压性能有了一定的認識，并且由于他們穴居于山洞之中，从而啓發了他們对于拱形的利用。远在秦代的时候（二千多年前），我們已經創造了最古老的偉大工程——万里長城。長城的截面形狀，基本上与現代的重力式擋土牆相类似，而它的城門洞做成了拱圈的形狀。拱的作用很早就被利用于桥梁工程中。远在隋代的时候，距今一千三百多年前，杰出的工程师李春建造了跨过洨水的赵州桥，这是跨度約为 37 公尺的开式石拱桥。拱的理論是結構力学中的一个重要部分，而它却早已体現在古代偉大的拱桥工程以及其他拱式結構中。以悬索来支承桥面系的悬式桥梁是近代桥梁中的重要形式之一；然而它的設計思想早已体現在十七世紀末所建成的瀘定鐵索桥，此桥在四川省境內跨越大渡河，全長 311 公尺。总之，历史的記載充分地說明了祖国古代工程建筑的偉大成就。这些成就非但隱藏着許多重要的力学原理，而且凌駕于当时欧洲的科学技术水平之上。然而，畢竟由于被落后的封建制度生产关系所限制，束縛着生产力，从而使結構的建造与設計長期停留在經驗的阶段。

力学，作为一門科学來說，大約是在十六七世紀的时候形成的。在十六世紀，达·芬奇曾經在这一方面發表过正确的理論，不过他的貢献始終停留在稿子上。在十七世紀四十年代，伽利略从事于力学的研究，他的成就奠定了力学的基础。在十八世紀中，俄国彼得堡科学院院士欧拉对直杆稳定的問題作出了重要的貢献。

可是，結構力学一直到十九世紀初叶才从力学中分裂出来，作为一門独立的科学。当时由于鐵路的出現，需要荷載大、跨度長的桥梁；在这样的环境下結構力学得到了發展。在这个时候以前已經有了关于梁的变形的一些假設和結論。这些結論被以后的許多實驗証明了。在十九世紀中，由于运输航运的發展，出現了一些关于板与壳的理論。进入到二十世紀后，随着生产力的發展，生产技术的提高，就有了大規模的鋼鐵生产。因此在十九世紀末二十世紀初的期間，就出現了桁架理論。隨之而起的是关于桁架合理形狀的研究，以及桁架变形的理論。至于混凝土的被用作建筑材料，不过是近几十年的事。由于鋼筋混凝土結構的整体性与連續性，使剛性構架的理論有了进一步的發展。近年来，由于机械工業的發展，作用在結構上的振动力愈形增大，这样就使結構动力学得到了飞躍的發展。晚近航空工业的迅速發展，进一步扩大与深化了关于薄壁杆件以及薄板与薄壳的理論。

世界学者，如納維哀、克拉潘朗、儒拉夫斯基、舒霍夫、卡斯奇梁諾、摩尔、普罗斯古拉柯夫、雅辛斯基、加僚金、柏潑考維奇、伏拉索夫等，在結構力学方面有杰出的貢献。

在解放以前，祖国学者在結構力学方面的研究工作受到了反动統治阶级的阻撓和摧殘。虽然如此，仍旧有少数的科学家孜孜于这一方面的学术研究工作，他們的成果散見于國內外的期刊杂志上，对本門科学作出了一定的貢献。随着祖国大陆的解放，社会主义建設的迅速發展，生产

力大大地提高，科学水平得到了新的高涨。在党和政府的号召、鼓励与领导下，深信新中国的学者继承着祖先的光荣传统，将对结构力学本身以及它对于祖国建设的作用作出伟大的贡献。

### § 1.3 結構的分类

結構的类型很多，可以按不同的方法加以分类。

一个結構总是具有長寬高三个方向的尺寸的。凡是三个尺寸都很大的結構，称为实体結構，如牆(圖 1.1)等。結構之長寬方向內的尺寸很大而其厚度很小者謂之薄壳(壁或板)結構，如板、壳(圖 1.2)等。由一根或許多根杆件連接而成，每根杆件的長度很長但其截面的兩個尺寸很小，由此所形成的結構称为杆接結構。如梁与柱合成的結構(圖 1.3)以及桁架(圖 1.4)等均屬之。

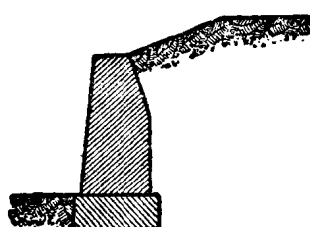


圖 1.1

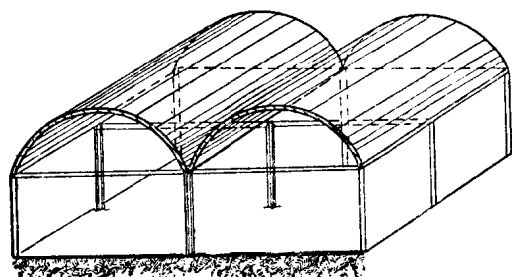


圖 1.2

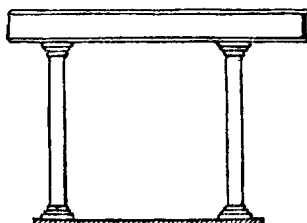


圖 1.3

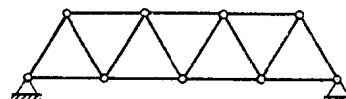


圖 1.4

杆接結構，又可按其各根杆件之是否排列在同一平面內而分为平面結構与空間結構二种。凡各杆的軸以及全部的外力均在一个平面內者，謂之平面結構，如圖 1.4 所示者即其一例；凡不具备上述条件的杆接結構，称为空間結構(圖 1.5)。

就连接的方法而言，则杆接結構又可分为桁架与剛架兩种。桁架系在各杆之間用沒有摩阻力的鉸连接而成，故各杆在結点处可以自由旋轉(圖 1.4)。而剛架則系指具有一个以上剛性結点的結構，如圖 1.6 所示。所謂剛性結点，系指：当結構变形时，在結点处杆軸末端的切線之間的夾角始終維持不变的結点。

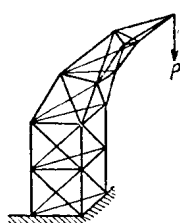


圖 1.5

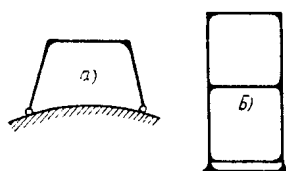


圖 1.6

按支承反力的方向而言，結構又可分为梁式結構(圖 1.4)与推力結構(圖 1.7)。前者在豎直荷載作用下仅有豎直反力，而后者則在豎直荷載作用下还發生水平反力。

就結構几何圖形的稳定性來說，我們又可以把它分为几何稳定与几何不稳定的兩种結構。在任何种荷載作用下，恒能保証靜止状态的結構称为稳定結構；反之則为不稳定結構。稳定結構又可分为静定与超靜定二种。前者其內力与反力均可由靜力平衡的条件来求得，而后者則須借助于結構变形的額外条件来决定。圖 1.8 a 所示为一靜定稳定的結構；圖 1.8 b 所示为一超靜定稳定的結構；而圖 1.8 c 則为一不稳定的几何圖形。

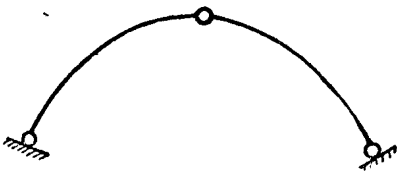


圖 1.7

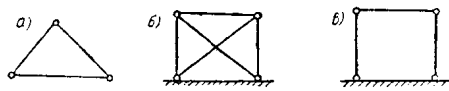


圖 1.8

#### § 1.4 荷載的型式

現我們來研究在外力作用下的一切結構。其外力为一向量，有一定的着力点、方向与大小。

作用于任何結構上的外力分为作用力与反力，作用在結構上的風、人群、結構自重等为作用力。这些作用力引起結構的移动。在作用力作用下阻止結構移动的支点抵抗力称为支承反力。

荷載分为靜荷載与活荷載。属于靜荷載的有：結構自重、桥板重量、屋頂重量等等；总之是永久停放在結構上的荷載。在使用結構的过程中，这些荷載，都不更变。用于計算中的活荷載按計算的目的而不同。列車、人群、風等等屬於活荷載。

为了与定位活荷載(風、雪)相区别，在結構中位置能变动的活荷載被称为移动荷載(例如，列車、汽車、人群)。

按型式說，荷載可以是分布的与集中的。分布于已知面积，或沿已知長度分布的荷載叫做分布荷載。这样，單位面积或單位長度上負荷了一定的荷載集度。分布荷載可以是均布的，即集度是常数的，或非均布的，即集度沿結構的面积或長度而变化的。樓板荷載、人群荷載等是均布荷載；水的靜水压力則为非均布荷載，其荷載集度按三角形变化。

一般地說，集中荷載是有着一定着力点的个别的力(例如輪压力、柱压力等)。事实上，这种荷載也分布于一定的表面上，但是这个表面比受力面小得多，因此荷載就被視為作用于一点上。

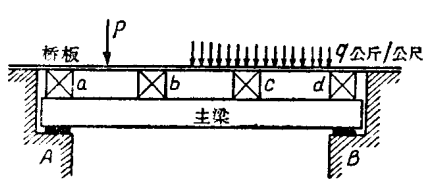


圖 1.9

按作用在結構上的性質來說，荷載可分为直接荷載与結点荷載。圖 1.9 把这种分类表示得最清楚。对桥板來說，集中荷載  $P$  与均布荷載  $q$  公斤/公尺是直接作用的荷載。同一荷載对梁來說，却为結点荷載，或为間接荷載，因为它靠輔助梁或傳力梁而傳达于梁上的定点(結点)。

荷載重量的大小，重量沿構件長度的变化，以及个别

荷載彼此之間的間距，其變化範圍很大。這樣，隨著技術的向前發展，機車、汽車等重量亦隨之增加；建立在不同地區的同樣結構，其雪壓力等也各不相同。為了使設計一起見，政府機關把荷載的基本型式予以標準化。

### § 1.5 計算方法

結構理論所研究的是在外力作用下處於彈性平衡狀態的結構。這樣的假設，使我們在結構計算中可以使用靜力平衡條件。雖然在結構變形時，作用於其上的荷載的間距稍有改變，但此種變形若與結構原來的尺寸相較，則數值非常小，故荷載位置的變更可以略去。

例如，一端固定而另一端負載的梁（圖 1.10）有了撓度，它的端點下垂  $f$ ，一般的說  $f$  是一個小於  $0.002l$  的數值。與這一撓度相對應的水平變位  $\Delta l$ ，為  $l$  的更小一部分。顯然，這個微小的變位對梁的彎矩數值的影響，也是微不足道的，因此可以略去。

但是在個別情形下，結構形狀的變化，比結構的總尺寸大得多，因之就不能略去變形的影響。例如，此種情形發生於鐵索橋、起吊機以及其他具有柔軟索帶的結構中。在集中荷載作用下，索帶的撓度比較大，因之必須考慮撓度的影響。

結構理論使用了截面法或結點法來推算內力，即假想由結構中割出一定的部分，在割斷的地方加上內力，用以代替結構物的其他部分對於被割出部分離體的作用。在外力與內力的作用下，離體被認為穩定於彈性平衡的狀態之中，此時對離體來說，內力與內力矩也就成為外力與外力矩了。

一般的說，結構的數解計算法系基於平面結構的靜力平衡條件  $\sum X = 0$ ,  $\sum Y = 0$ ,  $\sum M = 0$ ，但於個別情況下則值得應用結構平衡的動力條件：即無限小變位的虛功等於零。

在結構理論中以力多邊形與索線多邊形特性為基礎的圖解法，也與分析法同樣地被廣泛地使用著。應用圖解法可得到明顯的內力與撓度等等的變化圖。

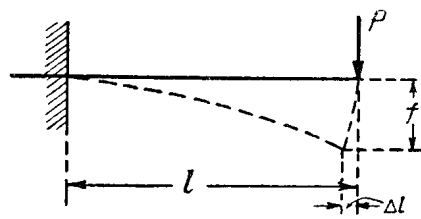


圖 1.10

## 第二章 土压力与擋土牆

### § 2.1 一般概念

用以支持并防止填土倾坍的結構物，謂之擋土牆。擋土牆的計算常取其一公尺的單位長度按平面結構的理論加以分析。圖 2.1 示一重力式擋土牆的截面。

擋土牆所受的外力包括其本身的重量  $G$  与土压力兩種，后者又可分为主动土压力与被动土压力。由土壤傳达至擋土牆支承邊的压力  $E$ ，使牆在力的作用方向仅有極微量的位移，这种压力称为主动土压力。由于主动压力或拱的橫推力(圖 2.2)作用，使擋土牆有微小的移动，于是牆的前趾承压在土壤上，使土壤产生一抵抗力，施于牆的前趾。这种土壤的抵抗力，称为被动土压力  $E'$ 。擋土牆在外力  $E$ 、 $E'$ 、 $G$  的作用下，使牆底产生一反力  $R$ ，見圖 2.1。

現在來討論土壤的性質。

土壤的容重  $\gamma$  以噸/立方公尺表出，例如干砂  $\gamma = 1.6$  噸/立方公尺；湿粘土  $\gamma = 1.9$  噸/立方公尺。其他种土壤的容重可从設計規范書或从工程师手册中查出。

一切土壤的顆粒之間均具有摩擦力与粘合力。但由于土壤性質的差异，在各种土壤中，这两种力对于土壤物理性質的影响也各有不同。

先来研究土壤的摩擦力。何謂摩擦力？試觀察圖 2.3 的情形。一重量为  $W$  的物体停放在斜坡上，逐渐增加斜坡的傾角至物体抵达于極限平衡的狀態(即將動未動之时)，此时斜坡的傾角为  $\varphi$ ，坡面对物体的反力为  $R$ ，摩擦力为  $F$ ，由力的平衡关系可得

$$\Sigma X = F - W \sin \varphi = 0,$$

$$\therefore F = W \sin \varphi;$$

$$\Sigma Y = R - W \cos \varphi = 0,$$

$$\therefore R = W \cos \varphi.$$

令  $f$  表示摩擦系数，则

$$F = fR,$$

$$W \sin \varphi = fW \cos \varphi,$$

$$\therefore f = \tan \varphi.$$

这里  $\varphi$  称为摩擦角，或为靜止角。下面我們再来討論干砂的情形。

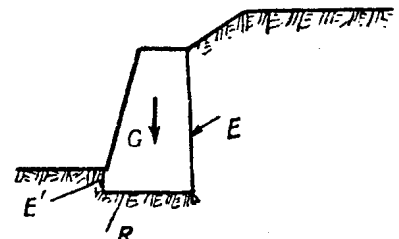


圖 2.1

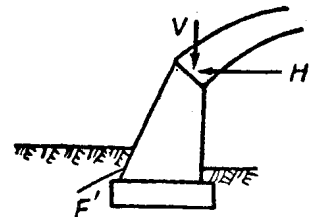


圖 2.2

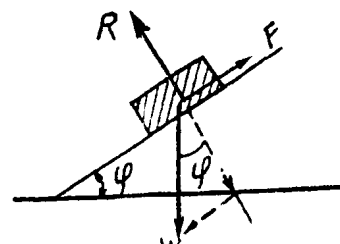


圖 2.3

試將干砂堆在平地上，當其處於平衡狀態時，其周圍形成一天然坡度，如再加砂粒於此坡度上，就會順坡滾下，這個斜坡與水平面間的夾角 $\varphi$ ，通常稱為天然傾斜角（或稱靜止角），如圖2.4所示。干砂之所以能站住於這個坡度上，乃由於砂粒之間的摩擦作用。

一般說來，土壤的天然傾斜角 $\varphi$ 並不等於土壤的內摩擦角 $\Psi$ ，後者可由實驗得出。在圖2.5中，當上板開始移動時，定出 $N$ 與 $Q$ 的數值，則得內摩擦角 $\Psi$ 如下：

摩擦系数

$$f = \operatorname{tg} \Psi = \frac{Q}{N}$$

我國鐵路橋涵設計規程所規定的各種土壤內摩擦角數值如下：

粉狀細砂	15~25°
細砂	20~30°
中粒砂	30~40°
大粒砂；礫卵；石礫	40~45°
粘性砂	15~30°
砂質粘土	10~30°

砂土的天然傾斜角可視為與其內摩擦角相等，即 $\varphi = \Psi$ ，但這種假定僅限於沒有粘合力的散粒體，如砂。因為用實驗來決定內摩擦角的手續很繁雜，普通都近似地作這種假定。

其次來研究土壤的粘合力。如上所述，若將干砂堆於平地，則其表面形成一天然的坡角 $\varphi$ ，這個角度與內摩擦角的數值很接近，這種現象僅存在於完全沒有粘合力的散體土壤中。今試取一原狀粘土，將其切成任意陡坡，則此粘土仍能站住於此陡坡上而不致傾坍。這兩種現象截然不同，實由於粘合力的緣故。後者粘合力甚大，而前者則毫無粘合力。可見，摩擦力存在於一切土壤中，而粘合力在某些土壤中成為主要的因素，而在另一些土壤中則可略而不計。在散體土壤中，常可略去其粘合力的因素，而僅計及摩擦力。土壤中產生粘合力的原因是很複雜的，這是土壤力學中的一个主題，這裡我們不去研究它。

土壤的摩擦力與粘合力是影響土壤強度最主要的因素。所謂土壤強度系指土壤的抗剪能力，因此也叫做剪強度( $\tau$ )。設土壤為沒有粘合力的散體土壤，如干砂，其剪強度決定於摩擦力。如圖2.5所示的土樣，當被外力在水平面內剪斷時，其剪強度 $\tau$ ，亦即水平面內的單位面積上的摩擦力，應為：

$$\tau = \sigma f = \sigma \operatorname{tg} \varphi.$$

此处 $f$ 與 $\varphi$ 的意義同前，而 $\sigma$ 則為剪斷面上的單位正交壓力，或 $\sigma = N/F$ ， $F$ =剪斷面積。

設土壤為粘性土壤，其剪強度決定於摩擦力與粘合力。圖2.6中的曲線表示粘性土壤剪強度的實驗曲線。

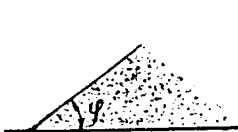


圖 2.4

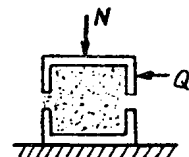


圖 2.5

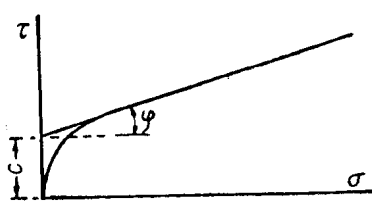


圖 2.6 庫倫圖解

这条曲線可以近似地用庫倫的經驗公式來表示：

$$\tau = \sigma \operatorname{tg} \varphi + C, \quad (2.1)$$

其中， $C$  為剪斷時土壤在單位面積上的粘合力。

## § 2.2 極限平衡理論的基本假定

一切土壓力理論都是近似的，因為它們都是從某些假定出發的。在庫倫土壓力理論中，把土壤視為一散粒狀的干燥物質，完全略去了粘合力，而仅有重量與摩擦力。這個理論系基於下列的一些假定：

視土壤為一散粒狀的均質體，此種質體僅能承受壓力與剪力。略去粘合力，僅依靠土壤的摩擦力來抵抗各顆粒間的相對滑動。

土壤的摩擦力與土壤的種類及其潮濕度有關（見 § 2.1）。我們近似地假定內摩擦角等於靜止角，即

摩擦系数

$$f = \operatorname{tg} \psi = \operatorname{tg} \varphi.$$

設在土壓力作用下，擡土牆略有移動，乃形成土壤內部的破裂，如圖 2.7 中虛線  $AC'$  所示；子是一部分土壤開始以極慢的速度沿破裂面向下滑動。

破裂面可近似地以一平面  $AC$  來代替，這個把土壤的緩慢移動部分與其靜止部分分開的平面，稱為滑動平面，或破裂面。在擡土牆背面與破裂面之間的緩慢移動的土壤是一個楔形，這個楔形  $ABC$  稱為滑動楔形。

極限平衡理論是基於這樣一個假定，即：當牆背的土壓力  $E$  抵達到極限值時（亦稱極限壓力）滑動楔形就開始緩慢地移動。根據這個假定，即可算出破裂面與水準之間的傾斜角  $\theta$ （破裂角）。

當楔形在將動未動時，牆的反力  $E$  與靜止土壤的反力  $R$  作用在與楔形移動方向相反的一側。這些反力與其各自法線之間的角度  $\varphi_0$  與  $\varphi$ ，等於各該平面上的摩擦角。

土壤與土壤間的摩擦角  $\varphi$  可近似地假定等於其靜止角。至於牆與土壤間的摩擦角  $\varphi_0$ ，其數值自零至  $\varphi$  不等，視牆背平面光滑程度而定。設牆背很平滑，則可採用  $\varphi_0=0$ ；設牆背很粗糙，則可採用  $\varphi_0=\varphi$ ，有時則假定  $\varphi_0=\frac{1}{2}\varphi \sim \frac{3}{4}\varphi$ 。總之， $\varphi_0$  的數值應以實驗的結果為依據。

將滑動楔形  $ABC$  視為均質的絕對剛體，在其本身的重量  $G$  與反力  $E$  及  $R$  的作用下維持平衡。

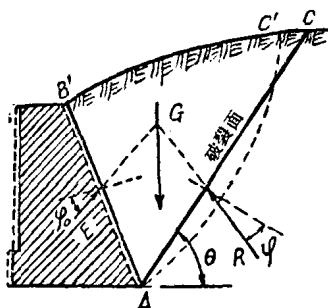


圖 2.7

## § 2.3 主動土壓力及其破裂角

在圖 2.8 a 中， $ABC$  為滑動楔形，它在  $G$ 、 $E$ 、 $R$  三力的作用下維持平衡，這三個力必交於一

点。

图中:  $\beta$  = 裁背面与竖直线的夹角;  $\theta$  = 破裂角;  $\varphi$  = 静止角 = 内摩擦角;  $\varphi_0$  = 裁与土壤间的摩擦角;  $\alpha$  = 土压力  $E$  与竖直线间的夹角 =  $(90^\circ - \beta - \varphi_0)$ 。图 2.8 6 示闭合的力三角形, 由此得:

$$E = G \frac{\sin(\theta - \varphi)}{\sin(\alpha + \theta - \varphi)}. \quad (a)$$

根据 § 2.2 的假定, 滑动楔形处于临界的平衡状态时, 裁的反力(即土压力)  $E$  抵达到它的极限值。因此相当于极限压力  $E$  的  $\theta$  角, 可由  $\frac{dE}{d\theta} = 0$  中求出。惟须注意, 楔形重量  $G$  亦为一变数, 它随  $\theta$  角的增大而减小。故

$$\frac{dE}{d\theta} = \frac{dG}{d\theta} \cdot \frac{\sin(\theta - \varphi)}{\sin(\alpha + \theta - \varphi)} + G \cdot \frac{\cos(\theta - \varphi) \sin(\alpha + \theta - \varphi)}{\sin^2(\alpha + \theta - \varphi)} - G \frac{\sin(\theta - \varphi) \cos(\alpha + \theta - \varphi)}{\sin^2(\alpha + \theta - \varphi)} = 0.$$

因  $\cos(\theta - \varphi) \sin(\alpha + \theta - \varphi) - \sin(\theta - \varphi) \cos(\alpha + \theta - \varphi) =$

$$= \sin[(\alpha + \theta - \varphi) - (\theta - \varphi)] = \sin \alpha,$$

故

$$\frac{dG}{d\theta} \sin(\theta - \varphi) \sin(\alpha + \theta - \varphi) + G \sin \alpha = 0,$$

乃得

$$G = -\frac{dG}{d\theta} \cdot \frac{\sin(\theta - \varphi) \sin(\alpha + \theta - \varphi)}{\sin \alpha}. \quad (6)$$

今设  $\theta$  角增加  $d\theta$ , 则破裂面  $AC$  变到  $AC_1$  的位置, 因此重量  $G$  减小。相当于面积  $ACC_1$  的重量  $dG$  为:

$$\text{面积 } \triangle ACC_1 = \frac{1}{2} \cdot \overline{AC} \cdot \overline{C_1 C_2} = \frac{1}{2} \cdot \overline{AC}^2 d\theta.$$

设,  $\gamma$  = 土壤的容重, 则

$$dG = \gamma \cdot \triangle ACC_1 = -\frac{1}{2} \gamma \cdot \overline{AC}^2 \cdot d\theta.$$

此处, 因  $G$  随  $\theta$  的增加而减小, 故用负号。代入公式(6), 得:

$$G = \frac{1}{2} \cdot \gamma \overline{AC}^2 \cdot \frac{\sin(\theta - \varphi) \sin(\alpha + \theta - \varphi)}{\sin \alpha}.$$

作直线  $CK$ , 令  $\angle CKA = \alpha$ , 则由三角形  $CKA$  中可得出

$$\overline{AC} = \overline{AK} \cdot \frac{\sin \alpha}{\sin(\alpha + \theta - \varphi)};$$

故

$$G = \gamma \cdot \frac{1}{2} \cdot \overline{AC} \cdot \overline{AK} \cdot \sin(\theta - \varphi) = \gamma \cdot \text{面积 } \triangle ACK. \quad (B)$$

但  $G$  为滑动楔形的重量, 该楔形系以面积  $ABC$  作底, 而其垂直于纸面的高度为 1 公尺, 故

$$G = \gamma \cdot \text{面积 } ABC. \quad (T)$$

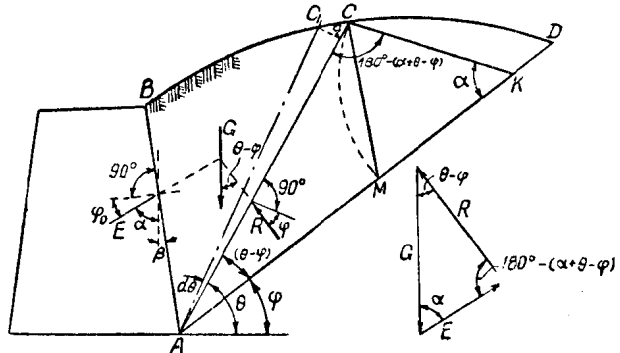


图 2.8

由公式(B)与(r)得

$$\text{面积 } ABC = \text{面积 } \triangle ACK. \quad (2.2)$$

故破裂角  $\theta$  的数值，必須使圖形  $ABC$  的面积等于  $\triangle ACK$  的面积。这个定理称为雷邦第一定理。設土壤表面  $BCD$  为一任意曲面，则破裂面  $AC$  可按公式(2.2)用尝试法求出。

下面我們叙述一个求破裂面及土压力的圖解法(庫爾曼圖解法)。当土壤表面为任意曲面时，这个方法是比較簡便的。

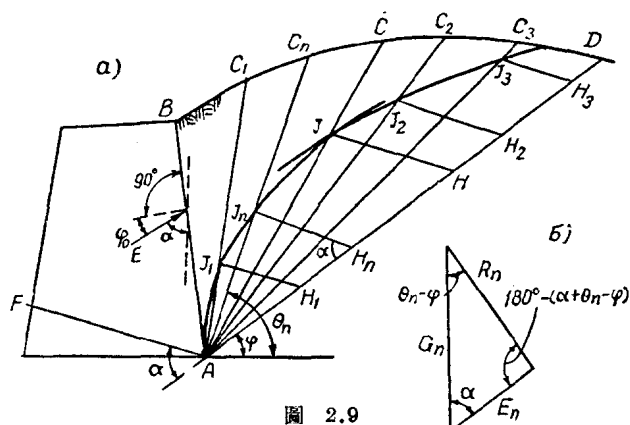


圖 2.9

于圖 2.9 a 中，作  $AF$  (称为方位綫)，使与  $AD$  (天然坡度綫) 成  $\alpha$  角。假定  $AC_n$  为破裂面，则土楔  $ABC_n$  的重量  $G_n$  为  $G_n = \text{面积 } ABC_n \cdot \gamma_c$ 。用一定比例尺取  $AH_n = G_n$ ，作  $H_nJ_n \parallel AF$ ，交  $AC_n$  于  $J_n$ ，則將  $\triangle AJ_nH_n$  与 (b) 圖相比較，即知  $E_n = H_nJ_n$ 。用同样方法取适当数目的一系列假想破裂面  $AC_1, AC_2, AC_3, \dots$  等等，可求得交点  $J_1, J_2, J_3, \dots$  等等。連接这些点而

成的曲线称为庫爾曼土压力曲线。于此曲线上作一切綫使与  $AD$  平行，由切点引  $JH \parallel AF$ ，則  $JH$  即代表最大的  $E$ ，亦即所求的土压力。通过  $J$  点作  $AC$  线，此綫即代表真正的破裂面。

## § 2.4 用圖解法求土压力

若土壤表面为一平面，则求破裂面  $AC$  及土压力  $E$  的圖解法可进一步簡化，如圖 2.10 所示，其中各字母符号与圖 2.8 同。这个圖解法也称做旁塞萊作圖法。

先来确定破裂面  $AC$  的位置。由  $A$  作  $AD$ ，与水平成靜止角  $\varphi$ ，此綫与土壤表面  $BD$  交于  $D$ 。以  $AD$  作直徑，画半圆。由  $B$  点作  $BF$  (称为方位綫)，与  $AD$  成  $\alpha$  角，并与  $AD$  相交于  $F$ 。在  $\triangle ABF$  中，

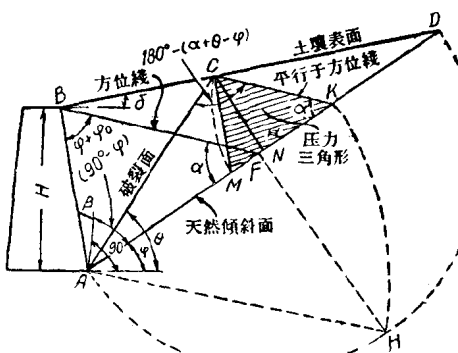


圖 2.10

$$\angle FBA = 180^\circ - \alpha - (90^\circ - \varphi + \beta), \text{ 而}$$

$$\alpha = 90^\circ - \varphi_0 - \beta \text{ (圖 2.8), 則}$$

$$\begin{aligned} \angle FBA &= 180^\circ - (90^\circ - \varphi_0 - \beta) - \\ &\quad -(90^\circ - \varphi + \beta) = \varphi + \varphi_0. \end{aligned}$$

故直线  $BF$  亦可按  $\angle FBA = \varphi + \varphi_0$  画出，較為簡捷。

过  $F$  点作  $FH \perp AD$ ，在  $AD$  线上，量出线段  $AK = AH$ ，得  $K$  点，作  $KC \parallel FB$  (方位綫)，則  $AC$  即为破裂面的位置，其証明如下：

$\triangle ADC$  与  $\triangle AKC$  的頂点( $C$ )相同，对边  $AD$  与  $AK$  在同一直线上，